

# 简明热处理手册

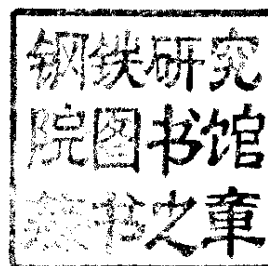
北京出版社

TG 15-62

J 37

# 简明热处理手册

《简明热处理手册》编写组编



北京出版社

1989年1月

## 简明热处理手册

Jianming rechuli shouce

《简明热处理手册》编写组编

\*

北京出版社出版  
(北京崇文门外东兴隆街51号)

新华书店北京发行所发行

北京印刷一厂印刷

\*

787×1092毫米 32开本 19印张 406,000字

1985年1月第1版 1985年1月第1次印刷

印数 1—34,000

书号：15071·59 定价：3.15元

## 前　　言

热处理是提高金属材料及其制品质量的重要手段。

近年来，随着工业的发展，对金属材料的性能提出了更多更高的要求，因而热处理技术也向着优质、高效、节能和无公害的方向迅速发展。为了帮助热处理工作者能较好地解决生产中遇到的问题，我们经过较广泛地调查研究和收集有关资料，结合具体生产实践和体会，编写了《简明热处理手册》，供广大热处理工作者参考。

本手册以金属材料热处理的常规工艺、常用数据、实用经验和关键性的技术或工艺为重点，对热处理的新工艺也做了扼要的介绍，以便更好地起到备查、提示和启发的作用。为使手册能达到简明、实用和便于查用的目的，其中大部分内容是以图表的形式反映出来的，力求做到既反映共性，又突出重点。

本手册由张建华、王民棣、汤志强、张政民、郭俊、崔德钧统编定稿。参加编写工作的有：王孝森、郭俊、郝超、张建华、王德海、邱大年、玉罗以、李泉华、汤志强、王民棣、陈树旺、王福贞、宣崇武、王维杰、王岐、崔德钧、李灿碧、李祖德、杨春江、翟宝隆、孙蕴才、缪绍基、殷可生、张政民、李凤鸣、唐弄娣、牛征、李祥筠、郭建寅等同志。

在编写这本手册的过程中，承北京市技术交流站热处理技术交流队给予大力支持和协助，提供了不少宝贵经验和资

料：樊东黎、王洪发、支道光等同志也给了我们很大的帮助，在此一并表示感谢。

这本手册是集体写作，由于我们经验不足，水平有限，定会存在不少缺点和错误，希望广大读者批评指正。

《简明热处理手册》编写组

一九八三年七月

## 目 录

第一章 钢的热处理 .....	( 1 )
§ 1—1 钢的热处理基础 .....	( 1 )
一、铁碳平衡图 .....	( 1 )
二、过冷奥氏体的转变 .....	( 2 )
§ 1—2 退火和正火 .....	( 10 )
一、退火 .....	( 10 )
二、正火 .....	( 12 )
三、退火和正火后的机械性能 .....	( 13 )
§ 1—3 淬火 .....	( 16 )
一、淬火温度的选择和加温时间 .....	( 16 )
二、淬火冷却介质 .....	( 18 )
三、钢的淬透性及淬透性曲线的应用 .....	( 19 )
四、淬火方法 .....	( 26 )
五、低碳马氏体淬火 .....	( 39 )
§ 1—4 钢的回火 .....	( 40 )
一、回火工艺参数和工艺分类 .....	( 41 )
二、回火脆性 .....	( 52 )
§ 1—5 钢的冷处理 .....	( 53 )
一、冷处理的作用 .....	( 53 )
二、冷处理工艺参数和工艺流程的确定 .....	( 53 )
三、冷冻剂及冷处理设备 .....	( 56 )
§ 1—6 炉内气氛控制 .....	( 59 )

一、炉气的选择	(59)
二、碳势控制	(64)
<b>§ 1—7 强韧化热处理</b>	(73)
一、超高温淬火	(74)
二、亚温淬火	(74)
三、回火对韧性的影响	(75)
四、形变热处理	(75)
<b>§ 1—8 真空热处理</b>	(77)
一、真空淬火	(77)
二、真空退火	(79)
三、真空化学热处理	(81)
<b>第二章 钢的表面强化处理</b>	(86)
<b>§ 2—1 表面淬火</b>	(86)
一、感应加热表面淬火	(86)
二、火焰加热表面淬火	(104)
三、电接触表面淬火	(107)
四、激光和电子束热处理	(109)
<b>§ 2—2 钢的化学热处理</b>	(111)
一、钢的渗碳	(112)
二、钢的渗氮	(125)
三、钢的碳氮共渗	(130)
四、钢的离子渗氮	(145)
五、钢的渗硼	(150)
六、钢的渗金属	(162)
七、钢的气相沉积	(168)
<b>第三章 其它金属材料的热处理</b>	(173)
<b>§ 3—1 铸铁和铸钢的热处理</b>	(173)
一、白口铸铁的热处理	(173)

二、灰口铸铁的热处理	(174)
三、可锻铸铁的热处理	(180)
四、球墨铸铁的热处理	(183)
五、铸钢的热处理	(194)
<b>§ 3—2 不锈钢的热处理</b>	<b>(195)</b>
一、马氏体不锈钢的热处理	(195)
二、奥氏体不锈钢的热处理	(204)
三、几种不锈钢种的热处理	(209)
四、沉淀不锈钢的热处理	(209)
<b>§ 3—3 钢结硬质合金的热处理</b>	<b>(209)</b>
一、退火	(209)
二、淬火与回火	(212)
<b>§ 3—4 有色金属的热处理</b>	<b>(221)</b>
一、铝及铝合金的热处理	(221)
二、镁合金的热处理	(230)
三、铜及铜合金的热处理	(232)
四、钛合金的热处理	(236)
<b>§ 3—5 磁性材料的热处理</b>	<b>(241)</b>
一、软磁材料的热处理	(241)
二、硬磁合金的热处理	(245)
<b>第四章 典型零件的热处理</b>	<b>(253)</b>
<b>§ 4—1 机械零件的热处理</b>	<b>(253)</b>
一、零件材料和设备的选择	(253)
二、零件结构形状的工艺性	(255)
<b>§ 4—2 冷变形模具的热处理</b>	<b>(297)</b>
一、冷变形模具的常用钢材	(297)
二、冷变形模具的制造工艺路线	(297)
三、热处理工艺	(300)

§ 4—3 热锻模的热处理	(302)
一、热锻模的热处理特点	(314)
二、热处理工艺	(315)
第五章 常见缺陷的分析和预防措施	(317)
§ 5—1 断口的分析	(317)
一、断口的宏观分析	(317)
二、断口的显微分析	(320)
§ 5—2 裂纹的分析	(323)
一、裂纹的分类	(323)
二、淬火裂纹的类型及其预防措施	(324)
三、磨削裂纹	(324)
四、线切割裂纹	(327)
§ 5—3 零件的失效分析	(333)
一、正常失效	(333)
二、非正常失效	(336)
§ 5—4 零件的金相组织缺陷分析	(336)
§ 5—5 热处理常见疵病的分析和预防	(340)
第六章 热处理的常用设备和仪表	(377)
§ 6—1 热处理电炉	(377)
一、一般热处理电阻炉	(378)
二、其它热处理电炉	(389)
§ 6—2 电热元件的选择及计算	(396)
一、高电阻电热合金及其计算方法	(396)
二、电热元件的结构	(400)
三、表面负荷的选择	(400)
§ 6—3 耐火、保温和炉用金属材料	(400)
一、耐火材料	(403)



二、保温材料 .....	(408)
三、炉用耐热金属材料 .....	(409)
§ 6—4 感应加热设备 .....	(411)
一、常用感应加热设备 .....	(411)
二、感应加热设备的常见故障及排除方法 .....	(414)
§ 6—5 常用温度测量仪表 .....	(418)
一、温度测量仪表的分类和应用 .....	(418)
二、热电偶、补偿导线和冷端补偿器 .....	(421)
§ 6—6 常用热处理设备的安全操作 .....	(426)
一、盐浴炉的安全操作 .....	(426)
二、电阻炉的安全操作 .....	(427)
第七章 常用热处理质量的检验方法 .....	(428)
§ 7—1 硬度试验 .....	(428)
一、布氏硬度 (HB) 测定法 .....	(428)
二、洛氏硬度 (HR) 测定法 .....	(432)
三、维氏硬度 (HV) 测定法 .....	(437)
四、显微硬度试验 .....	(441)
五、肖氏硬度试验 .....	(441)
六、硬度的粗略检查方法 .....	(444)
七、各种硬度值之间及硬度与强度之间的换算 .....	(444)
§ 7—2 钢的火花鉴别 .....	(447)
一、碳素钢的火花特征 .....	(448)
二、常用合金元素对火花的影响 .....	(450)
三、常用钢的火花图谱 .....	(454)
§ 7—3 金相检验 .....	(458)
一、金相检验规程 .....	(458)
二、几种金相检验的实例 .....	(463)
§ 7—4 盐浴液槽的分析方法 .....	(505)

一、试样的选取 .....	(505)
二、测定方法 .....	(505)
附录一 钢号的表示方法 .....	(507)
附录二 钢的化学成分 .....	(515)
附录三 常用冷却介质和加热盐浴 .....	(539)
附录四 各种硬度的换算 .....	(543)
附录五 热处理常用无机化合物和有机化合物 的性质 .....	(557)
附录六 热处理方法代号 .....	(566)
附录七 火色和温度的关系 .....	(567)
附录八 各种盐浴脱氧剂及其使用性能 .....	(568)
附录九 常用除油清洗液 .....	(569)
附录十 温度与绝对毫伏数据对照 .....	(570)
附录十一 与国际单位制并用的单位 .....	(571)
附录十二 常用钢种的等温转变曲线图和连续转变 曲线图 .....	(576)

# 第一章 钢的热处理

热处理是一种改善金属材料及其制品（如机器零件、工具等）性能的工艺。根据不同的目的，将材料及其制件加热到适宜的温度，保温，随后用不同方法冷却，改变其内部组织（有时仅表面组织改变或表面成分改变），以获得所要求的性能。金属热处理通常分为退火（焖火）、正火（常化）、淬火、回火（配火）、时效以及化学热处理和真空热处理等。通过热处理，可以提高制件的使用效能或寿命，在某些情况下也可使较廉的一般金属材料代替较昂贵的特殊材料。

## § 1—1 钢的热处理基础

### 一、铁碳平衡图

图 1-1 称为铁碳平衡图或铁碳相图（亦称铁碳状态图）。它表示处于平衡或亚平衡状态不同成分的铁碳合金，在不同温度下的状态与组织的关系，是研究平衡状态下铁碳合金的成分、金相组织与性能的基础，说明了铁碳合金在极缓慢的加热和冷却过程中相变产物的成分、温度及其相互关系，是热处理工艺的科学依据。为了便于查阅应用，现将图中各点、线及其各种相的特性，分别列于表 1-1~1-4。

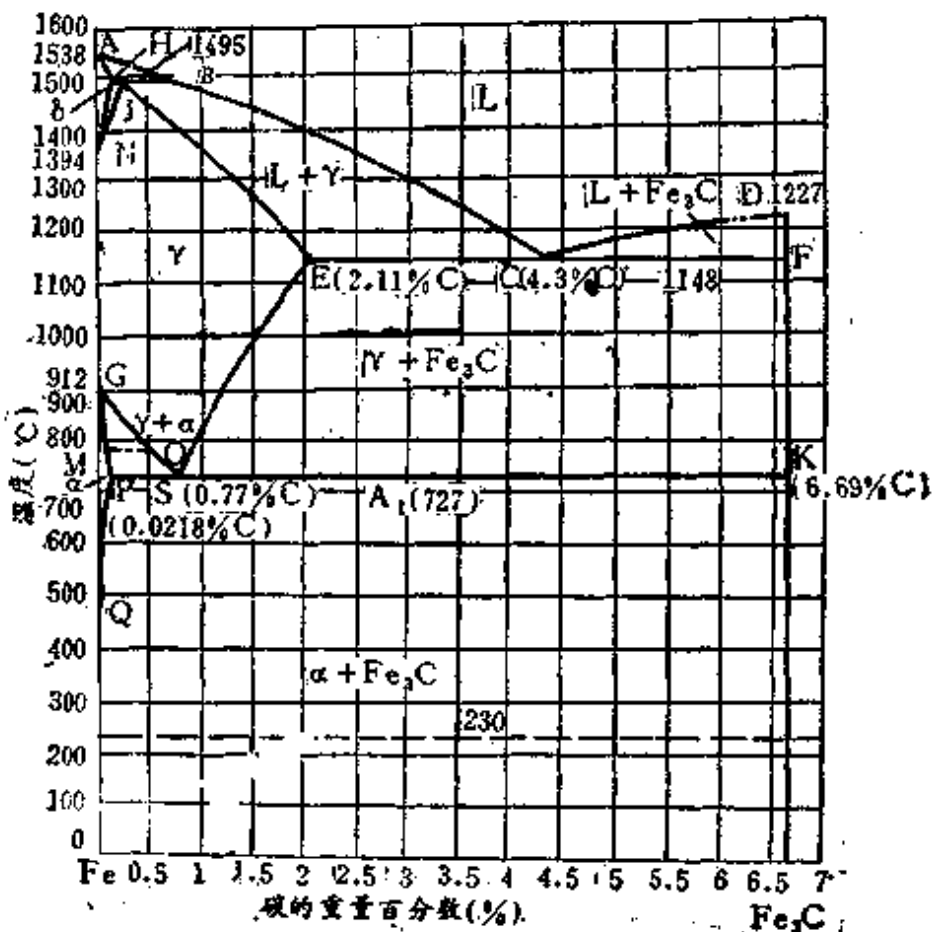


图 1-1 Fe—Fe<sub>3</sub>C 状态图

## 二、过冷奥氏体的转变

1. 等温转变 过冷奥氏体等温转变图(简称TTT图)或称奥氏体等温转变曲线(简称S或C曲线),是表示奥氏体化的钢在临界温度(A<sub>1</sub>)以下的不同温度保温时,等温时间和转变量的关系,它对制订钢的热处理工艺规程具有重要的指导意义。

图1-2是共析碳钢过冷奥氏体的等温转变图。它是利用试样经加热而获得奥氏体组织,并迅速放入临界温度以下不

表 1-1 铁碳平衡图中的特性点

特性点	温度 (°C)	碳含量 (%)	说 明
A	1538	0	纯铁熔点
B	1495	0.53	包晶转变时，液态合金的碳浓度
C	1148	4.30	共晶点 $L \rightleftharpoons \gamma_1 + Fe_3C$
D	1227	6.69	渗碳体( $Fe_3C$ )的熔点(理论计算值)
E	1148	2.11	碳在 $\gamma$ 相中的最大溶解度
F	1148	6.69	共晶转变线与渗碳体成分线的交点
G	912	0	$\alpha-Fe \rightleftharpoons \gamma-Fe$ 同素异构转变点(A3)
H	1495	0.09	碳在 $\delta$ 相中的最大溶解度
J	1495	0.17	包晶点 $L_1 + \delta_H \rightleftharpoons \gamma_1$
K	727	6.69	共析转变线与渗碳体成分线的交点
M	770	0	$\alpha$ 相磁性转变点(A <sub>1</sub> )
N	1394	0	$\gamma-Fe \rightleftharpoons \delta-Fe$ 同素异构转变点(A <sub>3</sub> )
O	770	~0.5	$\alpha$ 相磁性转变点(A <sub>2</sub> )
P	727	0.0218	碳在 $\alpha$ 相中的最大溶解度
Q	~600	~0.005	碳在 $\alpha$ 相中的溶解度
S	727	0.77	共析点 $\gamma_1 \rightleftharpoons \alpha_P + Fe_3C$

同温度的热浴中，在每一温度作不同时间的停留，使奥氏体发生转变，同时将测定的每一温度转变开始和终了的时间，分别记入温度和时间的坐标上，最后用曲线连接起来而得到的。当钢的成分、奥氏体化条件、形变和应力状态不同时，过冷奥氏体等温转变图的形状和在温度一时间坐标中的位置有很大差异。但是，转变的规律则大致相同，都有三个等温转变区，即高温为珠光体转变区(共析钢为  $A_1 \sim 550^{\circ}C$  左右)，中温为贝氏体转变区(共析钢为  $550^{\circ}C \sim M_s$ ，其中在  $550 \sim$

表 1-2

铁碳平衡图中的特性线

特 性 线	说 明
AB	$\delta$ 相的液相线
BC	$\gamma$ 相的液相线
CD	Fe <sub>3</sub> C 相的液相线
AH	$\delta$ 相的固相线
JE	$\gamma$ 相的固相线
HN	碳在 $\delta$ 相中的溶解度线
JN	( $\delta + \gamma$ ) 相区与 $\gamma$ 相区分界线
GP	高于 A <sub>1</sub> 时， 碳在 $\alpha$ 相中的溶解度线
GOS	亚共析铁碳合金的上临界点 (A <sub>s</sub> )
ES	碳在 $\gamma$ 相中的溶解度线， 过共析铁碳合金的上临界点 (A <sub>cem</sub> )
PQ	低于 A <sub>1</sub> 时， 碳在 $\alpha$ 相中的溶解度线
HJB	$\gamma_1 \rightleftharpoons L_a + \delta_u$ 包晶转变线
ECF	$L_c \rightleftharpoons \gamma_2 + Fe_3C$ 共晶转变线
MO	$\alpha$ 铁磁性转变线 (A <sub>2</sub> )
PSK	$\gamma_2 \rightleftharpoons \alpha_p + Fe_3C$ 共析反应线， 铁碳合金的下临界点 (A <sub>1</sub> )
230°C 线	Fe <sub>3</sub> C 的磁性转变线 (A <sub>0</sub> )

注：临界点的位置随加热和冷却的速度不同而不同，为了区别，在加热时的临界点符号的右下面加一个小写英文字母“c”字，即：A<sub>c1</sub>、A<sub>c3</sub>、A<sub>cem</sub>；在冷却时的临界点符号的右下面加一个小写英文字母“r”，即：A<sub>r1</sub>、A<sub>r3</sub>、A<sub>rcm</sub>。

400°C 形成上贝氏体，B<sub>c</sub>；400°C~Ms 形成下贝氏体，B<sub>d</sub>；低温为马氏体转变区 (Ms~M<sub>z</sub>)；过冷奥氏体在珠光体和贝氏体等温转变前也都还有一个孕育期，即奥氏体亚稳定区；新相的形成都是生核长大的过程；马氏体转变一般都是降温定区转变，即由 Ms (马氏体转变开始温度) 向下，随温度的下降

表 1-3

铁碳平衡图中的各相区

图 中 的 区 域	说 明
ABCD 线以上的区域	均匀的液态铁碳合金
ABH 区域	液态合金 + $\delta$ 固溶体
BCEJ 区域	液态合金 + 奥氏体
DCF 区域	液态合金 + 渗碳体
AHN 区域	$\delta$ 固溶体
HJN 区域	$\delta$ 固溶体 + 奥氏体
NJESG 区域	奥氏体
EFKS 区域	奥氏体 + 渗碳体
GSP 区域	奥氏体 + 铁素体
QPG 区域	铁素体
PKLQ 区域	铁素体 + 渗碳体

马氏体转变量增加，至  $M_z$ (马氏体转变终止温度)停止转变。此外，含碳量大于 0.3~0.4% 的钢，马氏体转变不能进行到底，常有数量不等的残余奥氏体存在。

影响奥氏体等温转变的因素较多，主要有以下几个方面：

① 碳的影响。在正常加热条件下，亚共析钢的 S 曲线随含碳量的增加向右移动；过共析钢的 S 曲线中，珠光体转变线随含碳量的增加向左移，而贝氏体转变线则向右移（若加热温度高于  $A_{cm}$ ，则含碳量的增加使 S 曲线右移）。 $M_s$  和  $M_z$  点随含碳量的增加而降低。

② 合金元素的影响。各种常用合金元素对等温转变曲线的影响如图 1-3 所示。此外，在钢（如含碳 0.35%）中加入少量某一合金元素时，对等温转变的影响往往不大。如果两种

表 1-4 铁碳平衡图中各相的特性

名称	符号	晶体结构	说 明
铁素体	$\alpha$	体心立方	碳在 $\alpha$ -Fe 中的间隙固溶体, 以 F 表示
奥氏体	$\gamma$	面心立方	碳在 $\gamma$ -Fe 中的间隙固溶体, 以 A 表示
$\delta$ 铁素体	$\delta$	体心立方	碳在 $\delta$ -Fe 中的间隙固溶体, 又称高温 $\alpha$ 相
渗碳体	$Fe_3C$	正交系	是一种复杂的化合物, 又称为 Q 碳化物
液 相	L		碳在铁中的液相

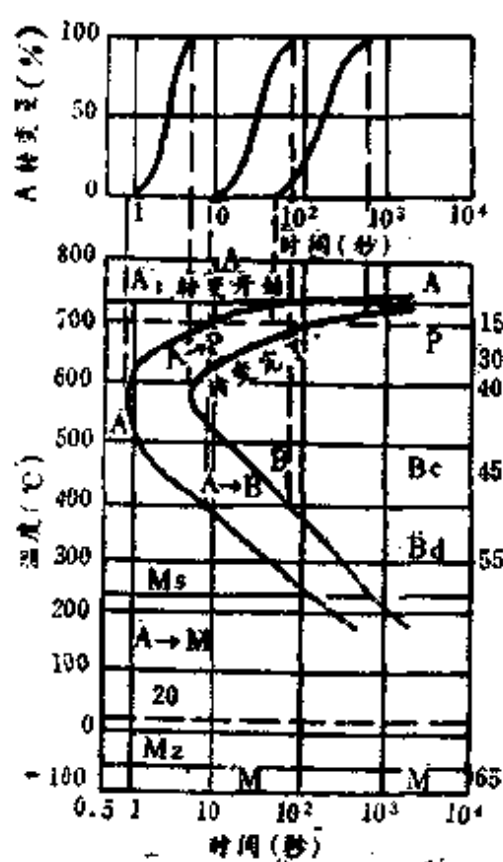


图 1-2 共析碳钢的等温转变图  
体化的钢以不同冷却速度连续冷却时, 其组织转变开始及终

或多种合金元素适当搭配同时加入钢中, 可使过冷奥氏体的扩散型转变显著推迟。

(3) 奥氏体化条件的影响。奥氏体化温度的提高和保温时间的延长, 可使 S 曲线右移、Ms 点升高。

(4) 应力及形变的影响。对过冷奥氏体进行拉伸变形, 可使 S 曲线右移。在低于或高于 Ms 点温度下进行小量塑性变形, 可使 Ms 点提高。

2. 连续冷却转变 过冷奥氏体的连续冷却转变图(简称 CCT 图), 它是反映经奥氏体化的钢以不同冷却速度连续冷却时, 其组织转变开始及终